Pholcus creticus Senglet, 1971

Senglet, A. 1971. Note sur les Pholcidae (Arachn.) de Grèce. Bull. Soc. entomol. Suisse 44(3/4): 345-359.

p. 345

Pholcus creticus n. sp. (fig. 1–10)

Crète. Nôme de Chania, Azoghirès, 4–6.VIII.1970, 1 ♂ holotype, 1 ♀ allotype et 3 ♀ paratypes ; Topolia, 8.VIII.1970, 1 ♀ paratype.

Petit *Pholcus* trouvé dans deux grottes, sous des pierres à des endroits faiblement éclairés, et dans une maison abandonnée et fermée, où il se cachait sous du bois. Holotype, allotype et paratypes dans ma collection.

Caractérisé par son abdomen ovale, cette espèce est jaunâtre, apigmentée à l'exception des cercles oculaires noirs, du sternum légèrement plus foncé, et d'un vague dessin en étoile qui se devine sur la partie thoracique. Pattes uniformément jaunâtres. Céphalothorax aussi large que long.

♂. Abdomen à peine plus de deux fois plus long que large. Tiges des chélicères (fig. 1 *a*) munies dans la portion basale de deux apophyses : l'une externe, forte et triangulaire, l'autre antérieure, petite et noirâtre ; dans la partie apicale se trouve une forte dent antéro-interne, noirâtre, se terminant en dents de scie (fig. 1 *b*). Palpe maxillaire (fig. 2 à 6) : apophyse du trochanter grande, perpendiculaire en avant, arquée à l'intérieur ; fémur muni d'un petit tubercule antérieur obtus ; bulbe allongé, à face interne plane, moitié apicale transparente. Apophyses du bulbe (fig. 3 et 6) : la supérieure cornée est garnie de courtes

p. 346

dents sur toute la surface interne ; l'inférieure est bifide : la branche interne assez fine, en faucille courbée en bas, l'extrémité à l'intérieur ; la branche externe assez large, en T irrégulier, au bras supérieur court et arrondi, l'inférieur allongé, courbé vers la base et à l'extérieur, où il se termine en trois pointes, visibles de dessus (deux seulement sont visibles en vue latérale interne) ; l'embolus visible de dessus, est masqué en vue latérale interne.

♀. L'épigyne (fig. 9) assez grande, légèrement ridée, jaunâtre, est bordée dans sa partie antérieure par un demi-cercle rougeâtre que l'on voit en transparence ; le bord postérieur, un peu relevé, est muni au centre d'un tubercule. La figure (10) de la vulve fait ressortir la présence du bouclier que l'on retrouve chez beaucoup de *Pholcus*, mais celui-ci est retourné et n'est pas visible de la face ventrale ; seul apparaît le tubercule qui le termine. Toutefois, chez un exemplaire plein d'œufs (fig. 8) on peut le voir de l'arrière, car il se trouve dégagé et relevé à angle droit.

Dimensions en mm. de l'holotype (♂) et de l'allotype (entre parenthèses ♀ de Topolia) : céphalothorax : ♂, long. 1,61, larg. 1,7 ; ♀, long. 1,64, larg. 1,82.

pattes	♂	I	II	III	IV	♀	I	II	III	IV
fémur		5,6	4,27	4,43	4,4		6,4 (4,9)	4,9 (3,7)	3;64 (2,9)	5,0 (4,0)
tibia + pat.		6,1	4,27	3,15	4,2		7,0 (5,1)	4,9 (3,65)	3,64 (2,73)	5,0 (3,7)
mét. + tarse		8,6	6,3	4,83	6,37		11,3 (8,2)	7,7 (5,75)	5,67 (4,4)	7,0 (5,4)

Ce *Pholcus* semble proche de *P. fauroti* Simon (1887 : 453), et particulièrement des *P. berlandi* et *senegalensis* Millot (1941 : 13–15). A propos de ces deux espèces, il est à remarquer que le *P. creticus* ♂ est sensiblement plus petit que les 4 ♀ de la même chasse. C'est cette différence qui a conduit Millot à créer *P. senegalensis* pour une ♀ de la même station que *P. berlandi* (♂).

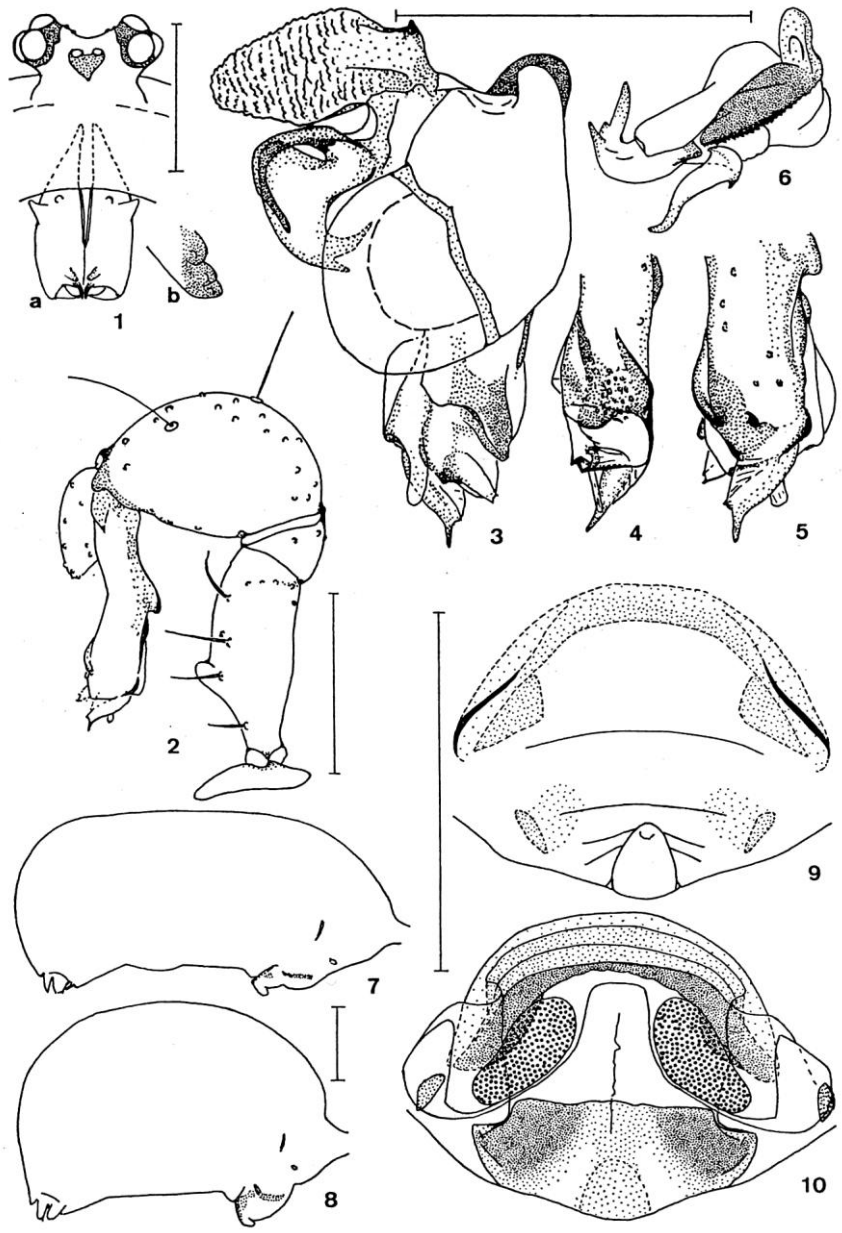

Fig. 1–10. *Pholicus creticus* n. sp. ♂. — 1. Groupe oculaire et chélicères, *a)* de face ; *b)* dent antérieure. — 2. Palpe maxillaire gauche, vue externe. — 3. Bulbe et extrémité du paracymbium, vue interne. — 4. Paracymbium : extrémité, vue antérieure. — 5. Id., vue externe. — 6. Apophyses du bulbe, de dessus. ♀. — 7 et 8. Abdomen de profil. — 9. Epigyne. — 10. Vulve, vue dorsale (prép. Pho 02). — Témoins d'échelle = 0,5 mm.

Senglet, A. 2001. Copulatory mechanisms in *Hoplopholcus*, *Stygopholcus* (revalidated), *Pholcus*, *Spermophora* and *Spermophorides* (Araneae, Pholcidae), with additional faunistic and taxonomic data. Mitt. schweiz. Ent. Ges. 74: 43-67.

p. 60

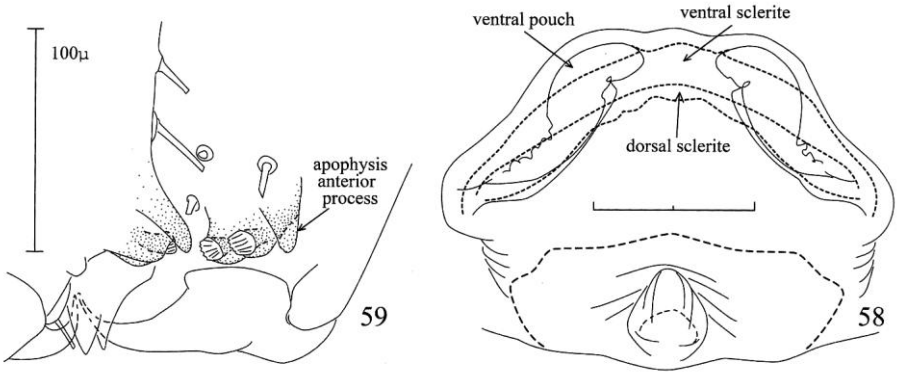

Figs 58-59: *P. creticus*; 58: Vulva, ventral view; 59: male apical cheliceral apophyses, dorso-lateral view. Figs 52-58: Scale, 0.2 mm.

p. 62

Pholcus creticus SENGLET, 1971 (Figs 58-59)

Material: GREECE, Crete, Chania, Topólia, Aghia Sophia cave, 5/9/74, 2♂, 6♀; Crete, Azoghyres / Paleochóra, 28/5/78, in an abandoned house, 5♂, 5♀.

This species, with a more globular abdomen and with an invaginated genital plate at rest, differs considerably from the type species, but procursus and bulbal apophyses are typical for *Pholcus*. The bulbal apophyses of *Micropholcus fauroti* (SIMON), which I have been able to see, are different.

In Fig. 58, vulva ventral view, sclerites in dotted lines, we see two paired pouches with deflated ventral walls. A creased ventral vulval wall links the genital plate to the ventral sclerite. In addition to two gripping setae, the male cheliceral apical apophysis is armed with a projecting anterior process (Fig. 59). Seemingly this is used to grasp the large posterior fleshy knob of the female, which is subsequently hold by the gripping setae.

Huber, B. A. 2011. Revision and cladistic analysis of *Pholcus* and closely related taxa (Araneae, Pholcidae). Bonner zool. Monographien 58: 1-510.

p. 313

1535, 1536. *Ph. creticus*, male, dorsal and lateral views.

p. 314

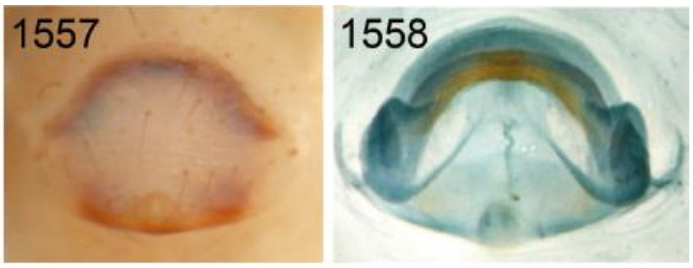

1557, 1558. *Ph. creticus.*

p. 322

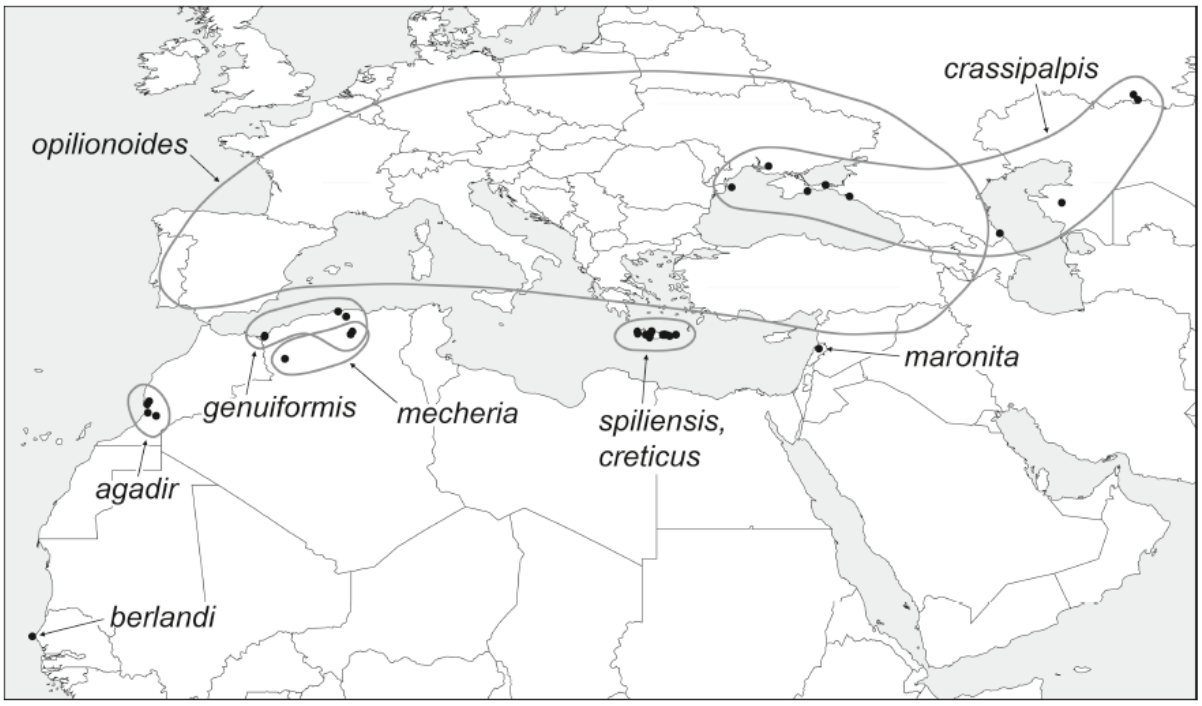

FIG. 1585. Known distribution of the *Pholcus opilionoides* species group; for *Ph. opilionoides*, only a rough estimate of its geographic range is shown.

Pholcus creticus Senglet, 1971

Figs. 1535, 1536, 1557, 1558, 1620-1635

Pholcus creticus Senglet 1971: 345-347, figs. 1-10. Senglet 2001: 62, figs. 58, 59.

Types. Male holotype, 3♀ paratypes, and three juveniles from Greece, Crete, Chania, Azoghirès/Paleochôra [~35°15'N, 23°42'E], 4.-6.viii.1970 (A. Senglet), in MHNG, examined. Female paratype from Chania, Topôlia (cave) [35°24.7'N, 23°40.9'E], 8.viii.1970 (A. Senglet), in MHNG, examined.

Diagnosis. Easily distinguished from congeners by distinctive complex appendix (Figs. 1620, 1629); also by shape of procursus (Figs. 1621, 1622) and female genitalia (Figs. 1557, 1623).

Male (holotype). Total body length 3.2, carapace width 1.0. Leg 1: 21.0 (5.6 + 0.5 + 5.7 + 7.7 + 1.5), tibia 2: 3.8, tibia 3: 2.8, tibia 4: 3.8; tibia 1 L/d: 50. Habitus as in Figs. 1535 and 1536. Carapace pale ochre-yellow with indistinct darker median mark, sternum light brown, anteriorly pale ochre-yellow, legs monochromous ochre-yellow, abdomen monochromous pale ochre-gray. Distance PME-PME 240 µm, diameter PME 95 µm, distance PME-ALE 25 µm, distance AME-AME 25 µm, diameter AME 45 µm. Ocular area slightly elevated, with stronger hairs posteriorly. No thoracic furrow; clypeus unmodified. Chelicerae with distal apophyses carrying two modified hairs each (Fig. 1631) and two pairs of proximal apophyses (similar to *Ph. manueli*, *crypticolens*, etc., cf. Figs. 1711, 1731; see also Senglet 1971, fig. 1). Sternum wider than long (0.7/0.5), unmodified. Palps as in Figs. 1620 and 1621 (shown here is the male from Katharo Plateau, see Variation below and Senglet 1971 for figures of the holotype), coxa unmodified, trochanter with ventral apophysis, femur with ventral hump, tarsal organ capsulate (Fig. 1628), procursus rather simple except distally, with long transparent process prolatero-ventrally and two spines dorsally (Figs. 1622, 1625, 1626), bulb with wide uncus, distinctive appendix consisting of flat part with two distal pointed processes and sickle-shaped darker part (Figs. 1620, 1629, 1630). Legs without spines and curved hairs, few vertical hairs (most hairs missing in holotype; checked in other males); retrolateral trichobothrium on tibia 1 at 8%; prolateral trichobothrium absent on tibia 1, present on other tibiae; tarsal pseudosegments indistinct. Gonopore with four epiandrous spigots (Fig. 1632); ALS with eight spigots each (cf. female).

Variation. Tibia 1 in 5 other males: 4.8-6.6 (mean 5.7). The holotype has the tip of the uncus slightly longer (cf. Senglet 1971, fig. 3), the process of the appendix that points towards dorsally slightly shorter, and the ventral femur protuberance slightly more pronounced (cf. Senglet 1971, fig. 2).

Female. In general similar to male, but triads closer together (PME-PME distance 160 µm). Tibia 1 in 10 females: 4.3-6.9 (mean 5.9); tarsus 4 with single row of comb-hairs (Fig. 1635). Epigynum mostly whitish, slightly elevated, dark internal arc visible through cuticle anteriorly, narrow posterior plate with 'knob' (Figs. 1557, 1623, 1633); internal genitalia as in Figs. 1558 and 1624. ALS with eight spigots each (Fig. 1627).

Distribution. Known from Crete only (Fig. 1585).

Material examined. GREECE: Crete: Chania, Azoghirès/Paleochôra: 1♂3♀ types above; same locality, in an abandoned house, 28.v.1978 (A. Senglet), 5♂5♀ in MHNG. Topôlia: 1♀ paratype above. Kritsa above Aghios Nikolaos, Katharo Plateau [~35°10'N, 25°40'E], "Eichen, Karst", 900-1100 m a.s.l., 1.x.1998 (K. Thaler, B. Knoflach), 1♂2♀ in CTh. Lasithi W, on path Kato Metohi to Kastamonitsa [~35°11'N, 25°24'E], 700-850 m a.s.l., 24.ix.1998 (K. Thaler, B. Knoflach), 1♀ in ZFMK (TH-340).

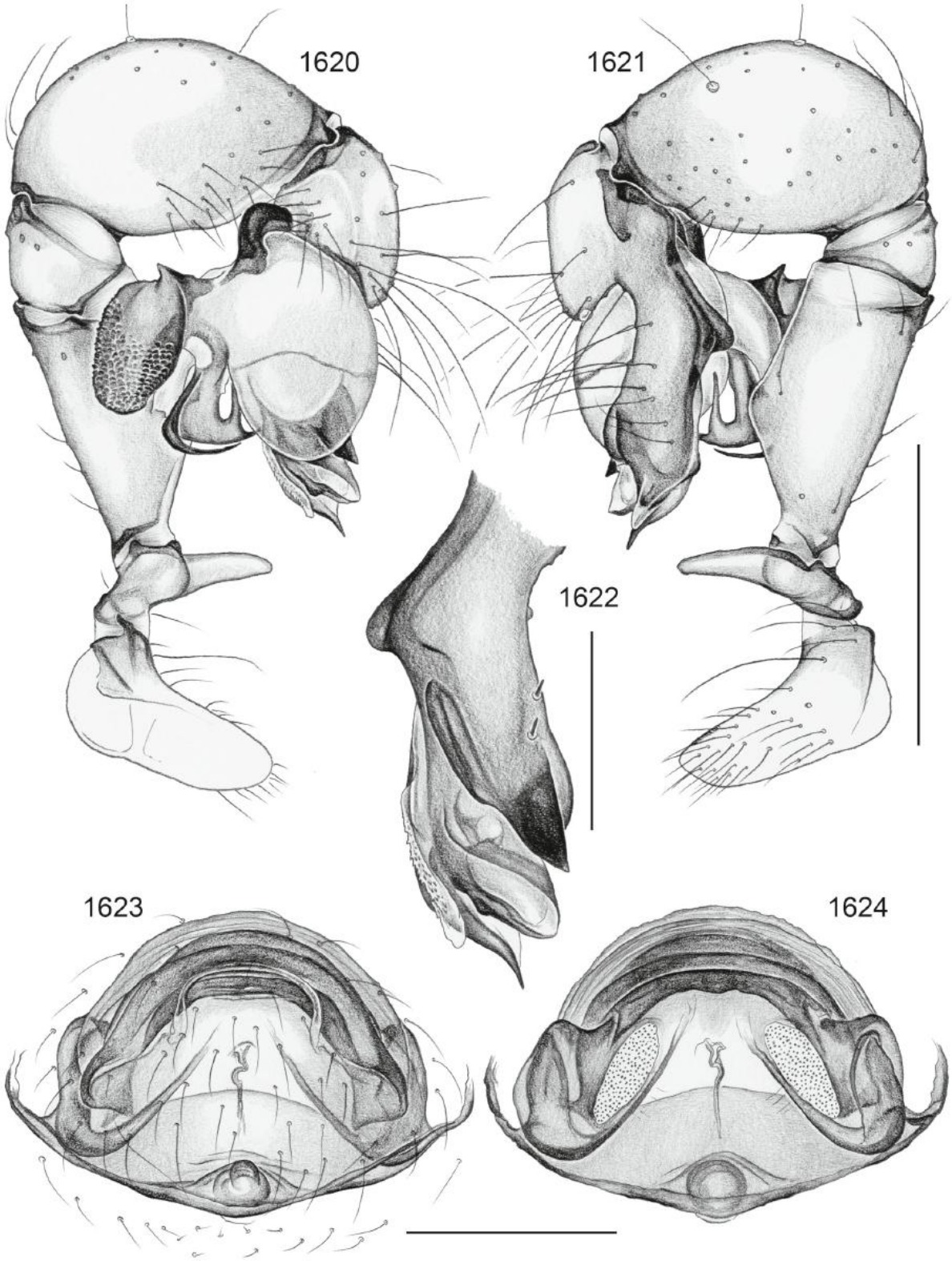

FIG. 1620-1624. *Pholcus creticus*. 1620, 1621. Left male palp, prolateral and retrolateral views. 1622. Left procursus, prolateral view. 1623, 1624. Cleared female genitalia, ventral and dorsal views. Scale lines: 0.5 (1620, 1621), 0.3 (1623, 1624), 0.2 (1622).

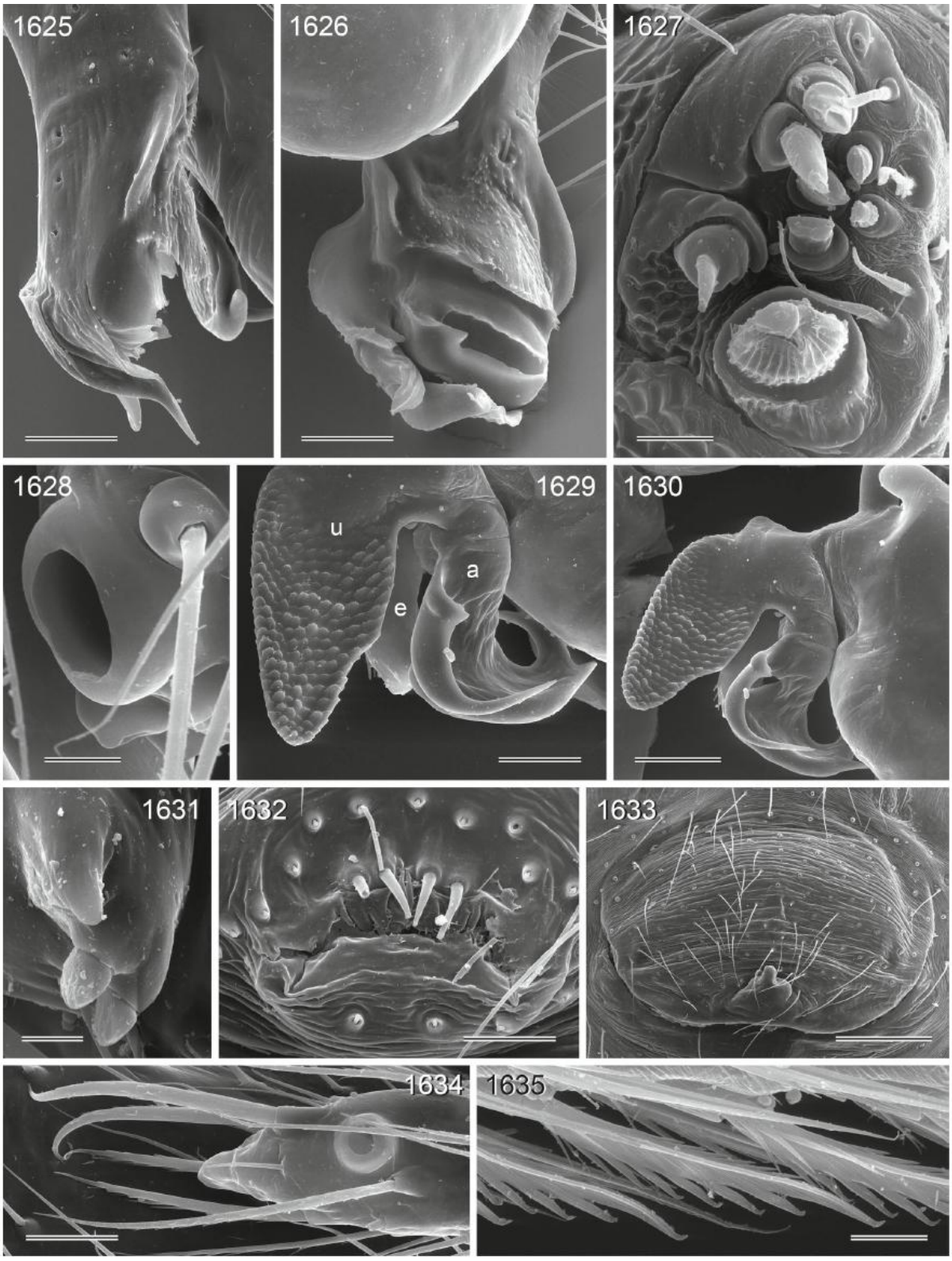

FIG. 1625-1635. *Pholcus creticus*. 1625. Right procursus, retrolatero-dorsal view. 1626. Left procursus, distal view. 1627. Female ALS. 1628. Male palpal tarsal organ. 1629, 1630. Left bulbal processes. 1631. Distal male cheliceral apophysis. 1632. Male gonopore. 1633. Epigynum. 1634. Tip of female palpal tarsus. 1635. Comb-hairs on female tarsus 4. Scale lines: 200 μm (1633), 100 μm (1630), 60 μm (1625, 1626, 1629), 40 μm (1632), 30 μm (1634), 10 μm (1627, 1628, 1631, 1635).